

УДК 541.(64+127) : 532.77 : 547.82

**СТРУКТУРНЫЕ И КИНЕТИЧЕСКИЕ МАТРИЧНЫЕ ЭФФЕКТЫ
ПРИ ПОЛИМЕРИЗАЦИИ 4-ВИНИЛПИРИДИНА
В ВОДНЫХ РАСТВОРАХ ПОЛИСТИРОЛСУЛЬФОНАТА НАТРИЯ
И ДОДЕЦИЛСУЛЬФАТА НАТРИЯ**

*Л. Д. Наркевич, О. В. Каргина, Л. А. Мишустина,
В. И. Свергун, В. А. Кабанов*

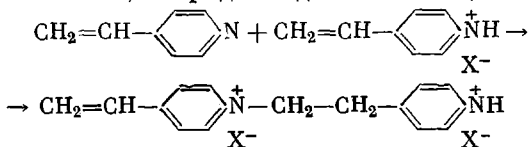
Сравнительное исследование полимеризации 4-винилпиридина (4-ВП) в водных растворах полистиролсульфоната натрия (ПСС) и додецилсульфата натрия (ДДС) показало, что в обеих системах обнаруживается сходный кинетический матричный эффект, обусловленный одной и той же причиной – аналогичным взаимодействием макромолекул ПСС и мицелл ДДС с протонированной и непротонированной формами 4-ВП. Структурный матричный эффект обнаружен только в растворах ПСС, что свидетельствует о том, что возникновение его связано с наличием в полимеризационной системе макромолекулярной матрицы цепного строения, способной образовывать с синтезируемым ионеном солевой поликомплекс определенной структуры, препятствующей ассоциации ионеновых цепей.

Во всех проводившихся ранее исследованиях в области матричной полимеризации матрицами служили макромолекулярные соединения, способные взаимодействовать с мономером или с растущей цепью синтезируемого полимера. Благодаря этим взаимодействиям и возникают наблюдаемые в процессах матричной полимеризации кинетические и структурные эффекты [1–8]. Были исследованы в основном матрицы двух типов: способные к образованию водородных связей (ПВС, поливинилпирролидон, ПММА, ПЭО) и полиэлектролиты, способные к электростатическому взаимодействию как с противоположно заряженными мономерами, так и с макромолекулярными продуктами реакций (полиэтиленимин, ионены поливинилпиридин, поликислоты).

В том случае, когда матрицами служат молекулы полиэлектролита, например, поликислоты, системой, в определенной степени моделирующей раствор этого полиэлектролита, является раствор, содержащий мицеллы анионного ПАВ, в состав которого входят те же функциональные группы, что и в состав полиэлектролитной матрицы. Можно было ожидать определенной аналогии во взаимодействии полистиролсульфокислоты (ПССК) и додецилсульфата натрия (ДДС) с противоположно заряженным мономером. Поэтому представляло интерес выяснить вопрос о том, возможно ли, чтобы мицеллы ПАВ и макромолекулы поликислоты оказывали идентичное влияние на полимеризацию соответствующего мономера, а если нет, то, что превносится макромолекулярным строением полиэлектролитной матрицы в процесс матричной полимеризации. Данная работа посвящена сравнительному исследованию полимеризации 4-винилпиридина (4-ВП) в водных растворах ПССК и ДДС, при концентрации ДДС много выше ККМ.

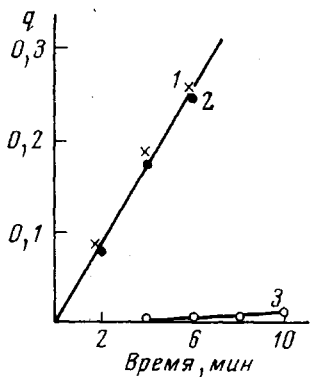
На основании проведенных ранее исследований было высказано предположение о том, что значительный кинетический эффект, наблюдаемый в реакции полимеризации 4-ВП в присутствии полимерных кислот, связан с одновременной адсорбцией на матрице двух форм 4-ПВ, участвующих в

реакции (протонированной – 4-ВПН⁺ и непротонированной – 4-ВП) и образованием ионной пары 4-ВПН⁺ с анионом матрицы, необходимой для протекания ступенчатой цвиттер-ионной полимеризации 4-ВП, приводящей к образованию поли-1,4-пиридинийдиэтилена (ионена)



Адсорбция 4-ВН⁺ была экспериментально установлена методом конкурентного ингибирования матричной полимеризации солями щелочных металлов и рядом органических оснований [9].

Проведенное нами исследование полимеризации 4-ВП в 0,1н. водных растворах полистиролсульфоната натрия (ПСС) и ДДС ($[4\text{-ВП}]=0,1$ н.)



Кинетические кривые полимеризации 4-ВП при 25° (pH 5,6) в водных растворах:

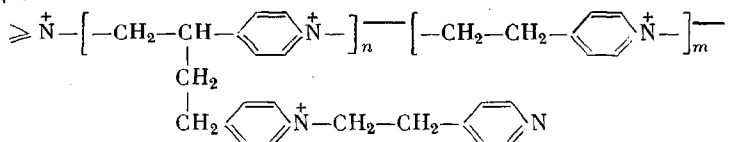
1 — [4-ВП] = [ПСС] = 0,1 моль/л;
 2 — [4-ВП] = [ДДС] = 0,1 моль/л;
 3 — [4-ВП] = 0,1 моль/л в присутствии H_2SO_4 ,

ледование полимеризации 4-ВП в 0,1н. водных растворов натрия (ПСС) и ДДС ($[4\text{-ВП}] = 0,1$ н.) при pH 5,6 и 25° на воздухе показало, что начальная скорость полимеризации 4-ВП в присутствии ДДС, так же как и в присутствии ПСС, обнаруживает экстремальную зависимость от pH среды. При этом показано, что скорости реакций в обоих случаях оказались близки и значительно превышают скорость полимеризации 4-ВП в присутствии H_2SO_4 (рисунок), т. е. полимеризация 4-ВП как в растворе ПСС, так и в растворе ДДС сопровождается аналогичным кинетическим эффектом. В отношении влияния на скорость полимеризации ДДС полностью моделирует макромолекулу ПСС, а поскольку само возникновение кинетического матричного эффекта связано с характером взаимодействия матрицы с 4-ВП и 4-ВП H^+ , то, вероятно, макромолекулы ПСС и мицеллы ДДС сходным образом взаимодействуют с обеими формами мономера.

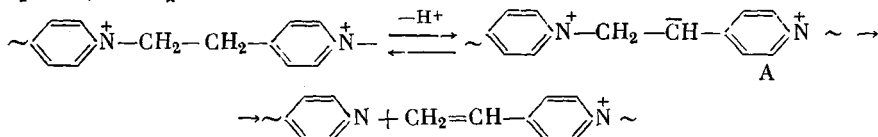
Хорошо известно, что мицеллы ионогенных ПАВ, с одной стороны, удерживают вблизи себя противоионы, а с другой — способны солюбилизи-

ровать гидрофобные соединения. Поэтому можно ожидать, что в данной системе вблизи поверхности мицелл ДДС одновременно будут сорбироваться как 4-ПВ, так и 4-ВПН^+ , образуя ионную пару с анионом ПАВ. Общность в поведении ДДС и ПСС в реакции полимеризации 4-ВП позволяет полагать, что и макромолекулы ПСС аналогичным образом взаимодействуют с 4-ВП и 4-ВПН^+ , т. е. адсорбируется не только протонированный, но и непротонированный мономер, что вполне согласуется с общей концепцией о природе кинетического матричного эффекта в реакциях полимеризации 4-ВП на поликислотных матрицах.

Исследования матричной полимеризации 4-ВП в водной среде при $pH > 6,0$ показали, что присутствие в растворе ПССК приводит не только к ускорению полимеризации, но и оказывает влияние на структуру полипродукта [10]. Анализ ПМР-спектров продуктов полимеризации 4-ВП в водной среде при $pH > 6,0$ в присутствии H_2SO_4 обнаружил, что эти продукты имеют разветвленное строение. Предполагаемое строение продукта следующее:



Образование разветвленного продукта связано, по-видимому, с тем, что при $\text{pH} > 6,0$ с заметной скоростью протекает расщепление ионеновой цепи по реакции Гофмана



Разветвленный полипродукт возникает в результате взаимодействия концевых винильных групп ионеновой цепи с цвиттер-ионом (A). Для осуществления этого взаимодействия необходима весьма плотная ассоциация ионеновых цепей друг с другом, поскольку в отсутствие такой ассоциации промежуточный активный продукт — цвиттер-ион — наверняка должен был бы погибнуть, присоединив протон из водной среды.

Полимеризация 4-ВП в водных растворах ПССК в аналогичных условиях приводит к образованию ионена линейного строения. ПССК с ионеном образует солевой поликомплекс. При этом, надо полагать, что фиксированный на поликислоте ионен расположен таким образом, что это препятствует ассоциации цепей ионена и исключает возможность протекания реакции разветвления. Поэтому, если кинетический матричный эффект при полимеризации 4-ВП в водных растворах ПССК возникает в результате адсорбции мономера на матрице, то структурный матричный возникает благодаря комплексообразованию матрицы с растущими цепями ионена. В отличие от продукта полимеризации 4-ВП в присутствии ДДС, ионен, полученный в присутствии ДДС, при $\text{pH} > 6,0$ имеет разветвленное строение [10] подобно тому, как это наблюдается в растворах низкомолекулярной серной кислоты.

Образование разветвленного полипродукта в растворе ДДС может быть связано с тем, что мицеллы ДДС, в которых молекулы объединены лишь невалентным взаимодействием, разрушаются по мере полимеризации 4-ВП. Соответственно в этой системе не создается такой пространственной организации ионена, которая препятствовала бы его ассоциации, а следовательно, и разветвлению ионеновой цепи.

Таким образом, сравнительное исследование полимеризации 4-ВП в водных растворах ПССК и ДДС показало, что если в обеих системах обнаруживается сходный кинетический эффект, обусловленный одной и той же причиной — аналогичным взаимодействием макромолекул ПССК и мицел ДДС с 4-ВПН⁺ и 4-ВП, то отсутствие структурного матричного эффекта в растворах ДДС свидетельствует о том, что возникновение его связано с наличием в полимеризационной системе макромолекулярной матрицы, способной образовывать с синтезируемым ионеном солевой поликомплекс определенной структуры, препятствующей ассоциации ионеновых цепей.

4-ВП очищали двукратной перегонкой в вакууме; отбирали фракцию с т. кип. 65°/15 torr, n_D^{20} 1,5497. Непосредственно перед опытом перегнанный 4-ВП конденсировали в высоком вакууме и готовили 0,2 н. водный раствор.

ПСС получали полимеризацией 70%-ного водного раствора предварительно перекристаллизованного стиролсульфоната натрия в присутствии персульфата калия под вакуумом при 70° в течение 48 час. Полученный полимер растворяли в воде и десализовали. Раствор сушили лиофильно. Готовили 0,2 н. водный раствор ПСС.

ДДС перекристаллизовывали из абсолютного этилового спирта и готовили 0,2 н. водный раствор.

Продукты полимеризации получали следующим образом:сливали 0,2 н. водные растворы 4-ВП и ПСС в эквивалентных количествах и доводили pH раствора до 6,0 соляной кислотой. Раствор оставляли при 20° в течение 30 час. Выпавший осадок декантировали, несколько раз промывали водой, затем ацетоном и сушили в вакууме до постоянного веса. Полученный продукт растворяли в D₂SO₄ и снимали ПМР-спектры.

Продукты полимеризации 4-ВП в присутствии ДДС получали аналогичным методом.

Спектры ПМР получали с помощью прибора XL «Вариан» при комнатной температуре, в качестве эталона применяли тетраметилсилан. Степень разветвленности продуктов полимеризации определяли как отношение площади сигнала протонов пиридиниевых циклов к площади сигнала протонов связи $\geq N-\overset{+}{CH}_2-$ (за вычетом концевых пиридиниевых циклов, связанных с винильными группами).

Скорость полимеризации 4-ВП определяли методом УФ-спектроскопии на приборе «Specord». Измерения проводили в тонкослойных кюветах, позволяющих работать с концентрацией реагента, равной 0,1 моль/л. Кинетические кривые записывали непосредственно на спектрофотометре при $\lambda=269$ нм (характеристическая область поглощения протонированного мономера), а затем пересчитывали в координатах: $q = ([M]_0 - [M]) / [M]$, где $[M]_0$ — начальная, $[M]$ — текущая концентрация мономера, q — глубина превращения.

Величину q вычисляли пользуясь измеренными значениями оптической плотности D

$$([M]_0 - [M]) / [M] = (D_0 - D) / (D_0 - [M]_0 l \epsilon),$$

где D_0 — начальная плотность в области $\lambda=260$ нм, D — плотность в момент времени t , l — толщина кюветы, равная $6,35 \cdot 10^{-4}$ см, ϵ — коэффициент поглощения полимера, равный 1300.

Институт нефтехимического синтеза
им. А. В. Топчиева АН СССР

Поступила в редакцию
2 III 1976

ЛИТЕРАТУРА

1. В. А. Кабанов, К. В. Алиев, О. В. Каргина, Т. И. Патрикееева, J. Polymer Sci., C 16, 1079, 1967.
2. В. А. Кабанов, О. В. Каргина, В. А. Петровская, Высокомолек. соед., A13, 348, 1971.
3. С. Н. Ватфорт, З. Шики, Polymer, 9, 595, 1968.
4. А. В. Власов, Л. И. Малахова, Б. Л. Цеглин, М. В. Шаблыгин, Докл. АН СССР, 184, 843, 1969.
5. И. М. Паписов, В. А. Кабанов, Е. Осада, М. Лескано Брито, Ж. Реймонд, А. Н. Гвоздецкий, Высокомолек. соед., A14, 2462, 1972.
6. J. Ferguson, S. A. O. Shah, Europ. Polymer J., 4, 343, 611, 1968.
7. О. В. Орлова, Ю. Б. Америк, Б. А. Кренцель, В. А. Каргин, Докл. АН СССР, 178, 889, 1968.
8. G. Challa, J. Gons, XXIII International Symposium of Macromolecules, Madrid, 1974, v. 1, p. 12.
9. Л. Д. Наркевич, О. В. Каргина, В. А. Кабанов, В. А. Каргин, Высокомолек. соед., A12, 1847, 1970.
10. Л. Д. Наркевич, О. В. Каргина, Л. А. Мишустина, В. И. Свергун, В. А. Кабанов, Высокомолек. соед., A18, № 7, 1976.